

تحلیل چرخه‌های نوسان تاوه قطبی در یک مدل آب کم عمق برای پوش سپهر با استفاده از فرایافتهای اویلری

سید مجید میرکنی^{۱*} و علیرضا محب‌الحجه^۲

^۱ دانشجوی دکتری هواشناسی، گروه فیزیک فضا، مؤسسه ژئوفیزیک دانشگاه تهران، ایران

^۲ دانشیار، گروه فیزیک فضا، مؤسسه ژئوفیزیک دانشگاه تهران، ایران

(دریافت: ۸۸/۸/۱۶، پذیرش نهایی: ۸۹/۷/۲۸)

چکیده

در این تحقیق، برای تعیین سازوکارهای موثر در چرخه‌های نوسان (vacillation) تاوه قطبی و به طور خاص بررسی چرخه‌های نوسان بادمداری، مدل آب کم عمق روی کرده با بهره‌گیری از چندین الگوریتم متفاوت به کار گرفته می‌شود. عامل اصلی در چرخه‌های نوسان تاوه قطبی، اثر ترکیبی و اداشت‌های موجی و گرمایی است. برای آشکارسازی نقش پوش سپهر در ایجاد تعییرپذیری، واداشت موجی مستقل از زمان توسط عامل کوهسواری (topography) و واداشت تایشی نیز به صورت یک فرایند واهلش گرمایی در معادله پیوستگی جرم وارد شده است. در الگوریتم‌های عددی مورد استفاده، معادلات آب کم عمق در نمایش (تاوایی پتانسیلی، واگرایی سرعت، واگرایی شبتاب) با استفاده از تعمیم روش فربرد پریندی نیمه‌لاگرانژی به معادلات دررو و نیز روش نیمه‌لاگرانژی محض در تفکیک‌های فضایی متوسط تا زیاد حل شده‌اند.

با استفاده از داده‌های بلندمدت مدل آب کم عمق، مجموعه‌ای از فرایافتهای اویلری حاصل از محاسبه جملات معادله میانگین مداری مؤلفه مداری تکانه برای بررسی نوسان‌های تاوه قطبی و استواری (robustness) یا ناستواری آن، محاسبه و تحلیل شده است. محاسبات نشان می‌دهد در معادله فوق جملات گرایش باد مداری، واداشت کوهسواری، واگرایی شار تکانه افقی و گشتاور کوریولیس سهم اصلی را در تعیین تحول زمانی چرخه‌های نوسان تاوه قطبی دارند. با توجه به مقادیر ناچیز جمله‌های انتقال پیچکی جرم و چشمۀ جرم، چرخه‌های نوسان تاوه قطبی را می‌توان حاصل تغییرات ناهم‌فاز سه جمله‌ای واداشت کوهسواری، واگرایی شار تکانه افقی و گشتاور کوریولیس دانست.

واژه‌های کلیدی: تاوه قطبی، چرخه‌های نوسان، مدل آب کم عمق، تاوایی پتانسیلی، فرایافتهای اویلری

Analysis of the polar vortex oscillations in a shallow water model of the Stratosphere using Eulerian diagnostics

MirRokni, S. M.¹ and Mohebalhojeh, A. R.²

¹ Ph. D. Student of Meteorology, Space Physics Department, Institute of Geophysics, University of Tehran, Iran

² Associate Professor, Space Physics Department, Institute of Geophysics, University of Tehran, Iran

(Received: 7 Nov 2009, Accepted: 20 Oct 2010)

Abstract

The internal variability of the stratosphere, in particular the vacillation of the polar vortex, in a shallow-water model is investigated. The combined effects of mechanical forcing and thermal forcing are the major factors involved in the vacillation of the polar vortex in the shallow water (SW) model examined here. Mechanical forcing is provided by a time-independent topography mimicking tropospheric excitation of the stratosphere. Thermal

forcing is provided by a linear relaxation of the mass field to a time-independent equilibrium state mimicking the radiative relaxation taking place in the stratosphere. In this way, the setup of the problem is such that the barotropic effects arising from the horizontal structure of PV on the polar vortex in the real atmosphere can be examined.

The SW equations in potential vorticity (PV), velocity divergence and acceleration divergence representation are solved for a range of resolutions using the "diabatic contour-advection semi-Lagrangian" (DCASL) algorithm and a standard pure semi-Lagrangian (SL) algorithm. Using different numerical algorithms enables us to address the issues related to numerical sensitivity of the zonal oscillations in the SW model of the stratosphere. The equations for velocity and acceleration divergence are solved using spectral transform in longitude and compact fourth-order finite differencing in latitude. The spatial resolution is indicated by $M \times N$, M and N being the number of grid points in the longitudinal and latitudinal directions, respectively.

As a first step in understanding the nature and robustness of the zonal wind oscillations in the SW for the stratosphere, the Eulerian diagnostics based on the terms of the zonal mean zonal momentum equation are calculated and analyzed. To this end, the results for the pure SL algorithm with spatial resolution of 256×256 , 512×512 , and 1024×1024 are presented and compared with the corresponding results for the DCASL algorithm with spatial resolution of 256×256 . The results for all of the resolutions and algorithms indicate that the topographic forcing, the divergence of horizontal momentum flux and the Coriolis torque are the dominant factors determining the zonal mean zonal momentum time evolution. From the Eulerian perspective, overall, the zonal wind oscillations can be attributed to the out-of-phase variations of the topographic forcing, the divergence of horizontal momentum flux and the Coriolis torque. However, the irregularity of the cycles of the oscillations in the results for the PV-based algorithms in all of the resolutions examined is in clear contrast with the regular oscillations reported at T42 resolution by Rong and Waugh in 2004, where spectral transform algorithm used to solve the SW equations in vorticity, divergence, mass and dissipation is provided by explicitly damping vorticity using hyperdiffusion. Regarding the irregularity of the oscillations and the statistical difference between the results for the SL and DCASL, on the one hand, and between the various resolutions of the SL, on the other hand, further diagnostics to study the geometry of the vortex and its time evolution as well as additional numerical experiments are needed to assess the polar vortex oscillations.

Key words: polar vortex, oscillation cycles, shallow water model, potential vorticity, Eulerian diagnostics

۱ مقدمه

(۲۰۰۴) بستگی دارد. دیدگاه اصلی در این مقاله، بررسی چرخه‌های نوسان تاوه قطبی در یک مدل آب کم عمق برای پوش سپهر به صورت دینامیکی است. به طور معمول در جو واداشت گرمایی بلندمدت علاوه بر ایجاد حرکت چرخندی تاوه قطبی، در شرایط زمستانی موجب تقویت آن می‌شود. از سوی دیگر، امواج سیاره‌ای حاصل از تغییرپذیری گردش وردسپهری با دامنه‌های به اندازه کافی بزرگ، تاوه قطبی را تحت تاثیر قرار می‌دهند (بالدوین و مانند بالدوین و دانکرتون، ۱۹۸۹ و ۱۹۸۹؛ رونگ و واف، ۲۰۰۴). این نوسان‌ها به عوامل متعدد از قبیل تابش خورشیدی (سالی و کالاغان، ۲۰۰۴)، فعالیت آتشفسان‌ها (آنجل، ۱۹۹۷)، ترکیب شیمیایی پوش سپهر (واف، ۱۹۹۳) ، تغییرپذیری گردش در وردسپهر (اسکات و پولوانی، ۲۰۰۸) و دینامیک درونی پوش سپهر (رونگ و واف،

شبه‌زمین‌گرد روی کره یا در یک کانال β (مانند ماتسونو، ۱۹۷۰؛ هولتون و مس، ۱۹۷۶) با توجه به اهداف پژوهش و نیز امکانات و تجهیزات رایانه‌ای استفاده شده است.

حل معادلات مدل آب کم عمق روی کره به شناسایی ساختار نصف‌النهاری چرخه‌های نوسان تاوه قطبی کمک می‌کند. علاوه‌بر این، افزایش تفکیک در مدل‌های عددی به منظور آشکارسازی همه عوامل موثر بر دینامیک چرخه‌های نوسان تاوه قطبی صورت می‌گیرد (مانند رونگ و واف، ۲۰۰۴؛ اسکات و پولوانی، ۲۰۰۸). افزایش بی‌نظمی در چرخه‌های نوسان تاوه قطبی همراه با افزایش تفکیک مدل‌ها این سؤال را پیش می‌آورد: " آیا تغییرپذیری همدوس (coherent) (دوره‌ای شبهمنظم) ویژگی ذاتی دینامیک پوش‌سپهر است؟ " از راههای موجود برای پاسخ به این سؤال بنیادی، بررسی استواری چرخه‌های نوسان تاوه قطبی با استفاده از یک مدل دو بعدی با اعمال واداشت موجی مستقل از زمان و بدون وارد کردن پیچیدگی‌های ساختار قائم، میسر است. بدین ترتیب، اثر تغییرپذیری گردش وردسپهری حذف می‌شود و می‌توان نقش دینامیک پوش‌سپهر در ایجاد چرخه‌های نوسان تاوه قطبی را بررسی کرد.

افزایش ناگهانی انتقال گرما و تکانه نصف‌النهاری عرض‌های بالا که نقش اساسی در پدیده گرمایش ناگهانی پوش‌سپهر مناطق قطبی دارد، نشانگر فعالیت موجی حاصل از امواج سیاره‌ای است (ماتسونو، ۱۹۷۰). براین اساس ماتسونو (۱۹۷۱) مدلی برای برهم‌کنش موج – شارش میانگین در پوش‌سپهر عرضه کرد که شامل امواج سیاره‌ای واداشته از سطح زیرین (وردسپهر) و برهم‌کنش آنها با شارش میانگین در پوش‌سپهر بود.

رونگ و واف (۲۰۰۴) با بررسی تغییرپذیری درونی پوش‌سپهر به کمک مدل تک‌لایه‌ای آب کم عمق با واداشت موجی مستقل از زمان روش ساختند که

دانکرتون، ۱۹۸۹). یکی از عوامل تضعیف حرکت چرخندی تاوه قطبی، شتاب‌های منفی حاصل از واداشت موجی وردسپهری است (پولوانی و سراوانان، ۲۰۰۰). از آنجاکه مقیاس زمانی واداشت گرمایی، که در پوش‌سپهر از چند روز تا چند هفته است، در مقایسه با واداشت موجی، که حدود یک روز و بیشتر است، طولانی‌تر است، بنابراین شکست تاوه قطبی بسیار سریع تر از بازساخت آن روی می‌دهد (توبن و لگنو، ۱۹۹۹).

با توجه به مطالب فوق، عامل اصلی در چرخه‌های نوسان تاوه قطبی، اثر ترکیبی واداشت‌های موجی و گرمایی است. در بررسی چرخه‌های نوسان تاوه قطبی با استفاده از مدل‌های عددی، سازوکارهای موثر بر تاوه قطبی به دو دسته سازوکارهای داخلی و خارجی تقسیم می‌شوند. سازوکار داخلی شامل بررسی چرخه‌های نوسان تاوه قطبی با اعمال واداشت‌های گرمایی و موجی مستقل از زمان به ازای مقادیر متفاوت پارامترهای فیزیکی و عددی است که منجر به شناسایی اثر پوش‌سپهر بر وردسپهر می‌شود. سازوکار خارجی شامل بررسی چرخه‌های نوسان تاوه قطبی با اعمال واداشت‌های گرمایی و موجی وابسته به زمان به ازای مقادیر متفاوت پارامترهای عددی و فیزیکی، مانند زمان واهلش و کوهساری است که منجر به شناسایی اثر وردسپهر بر پوش‌سپهر می‌شود.

در تعیین سازوکارهای درونی، اساساً نقش پوش‌سپهر در ایجاد تغییرپذیری مورد توجه قرار می‌گیرد. بنابراین ساختار مدل‌های عددی مورد استفاده به گونه‌ای است که خواص دینامیکی مربوط قبل تغییرند (مانند اسکات و پولوانی، ۲۰۰۶). مدل‌های عددی متفاوتی برای تعیین سازوکارهای چرخه‌های نوسان تاوه قطبی به کار رفته است. در اکثر موارد از مدل‌های گردش کلی (GCM, General Circulation Model) کریستیانسن، ۱۹۹۹)، مدل آب کم عمق (مانند جوکس، ۱۹۸۹) و مدل‌های دارای چینه‌بندی به صورت بسیط یا

۲ معرفی مدل عددی و فرایافتهای

در الگوریتم‌های عددی مورد استفاده در این مقاله، معادلات آب کم‌عمق در نمایش (تاوایی پتانسیلی، واگرایی سرعت، واگرایی شتاب) با استفاده از تعمیم روش فرابرد پربندی نیمه‌لاگرانژی به معادلات دررو و نیز روش نیمه‌لاگرانژی محض در تفکیک‌های فضایی متوسط تا زیاد حل می‌شوند. معادلات آب کم‌عمق در نمایش (تاوایی پتانسیلی، واگرایی سرعت، واگرایی شتاب) عبارت‌اند از (محب‌الحجج و دریچل، ۲۰۰۹):

$$\frac{DQ}{Dt} \Big|_{AD} = S_Q = -\frac{Q}{1+h} S_h \quad (1)$$

$$\frac{\partial \delta}{\partial t} = \gamma - 2 \left[\frac{\partial u}{\partial \varphi} \left(\frac{\partial u}{\partial \varphi} + \zeta \right) + \frac{\partial v}{\partial \varphi} \left(\frac{\partial v}{\partial \varphi} - \delta \right) \right] - \nabla \cdot (\delta \mathbf{v}) - \frac{|\mathbf{v}|^2}{a^2} \quad (2)$$

$$\begin{aligned} \frac{\partial \gamma}{\partial t} &= c^2 \nabla^2 \left\{ \nabla \cdot \left[(1+\tilde{h}) \mathbf{v} \right] - S_{\tilde{h}} - \frac{\partial h}{\partial t} \right\} \\ &+ \frac{2\Omega_E}{a^2} \frac{\partial B}{\partial \lambda} - \nabla \cdot (Z \mathbf{v}) \end{aligned} \quad (3)$$

که $Q = (f + \zeta)/(1 + \tilde{h})$ تاوایی پتانسیلی، f . پارامتر کوریولیس، \tilde{h} پریشیدگی میدان ضخامت بی‌بعد، چشمۀ برای پریشیدگی میدان ضخامت به صورت:

$$S_{\tilde{h}} = \frac{(H_e/H_o) - 1}{\tau_E} + \frac{(H_e/H_o)\tilde{h}_e - \tilde{h}}{\tau_E}$$

\tilde{h}_e پریشیدگی میدان ضخامت تعادلی، H_o میانگین جهانی ضخامت و H_e میانگین جهانی ضخامت تعادلی در $t=0$ ، δ واگرایی سرعت، \mathbf{v} بردار سرعت افقی، u و v مؤلفه‌های مداری و نصف‌النهاری باد، τ_E زمان واهلش، ζ واگرایی شتاب.

دینامیک درونی پوش‌سپهر در ایجاد تغییرپذیری آن موثر است. بنا براین رخداد چرخه‌های نوسان تاوه قطبی که عامل اساسی در تغییرپذیری درونی پوش‌سپهر است بدون انتشار قائم امواج راسی هم باید امکان پذیر باشد. با توجه به کار رونگ و واف (۲۰۰۴)، تحقیق حاضر در صدد تعیین استواری رخداد چرخه‌های نوسان تاوه قطبی در یک مدل آب کم‌عمق برای پوش‌سپهر است.

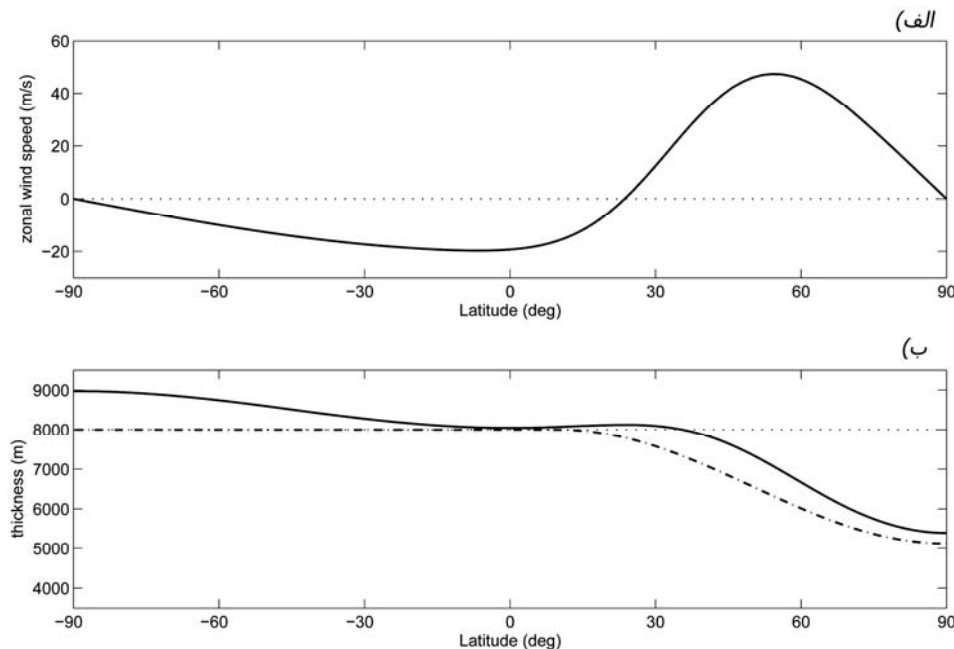
با توجه به اینکه بیشتر پدیده‌های جوّ میانی از جمله چرخه‌های نوسان تاوه قطبی، به صورت برهم‌کنش موج-شارش میانگین بررسی می‌شوند، تقسیم کمیت‌های مورد تحقیق به دو بخش میانگین مداری و انحراف از آن، راهکار مناسبی برای شناسایی اثر متقابل امواج و شارش میانگین است (مانند جیمز، ۱۹۹۵). فرایافتهای براساس میدان‌های میانگین مداری، شار موجی و تاوایی پتانسیلی به دست می‌آیند (مانند مک‌ایتنایر، ۱۹۸۲؛ مک‌ایتنایر و پالمر، ۱۹۸۳؛ مک‌ایتنایر و پالمر، ۱۹۸۴). برای مثال میانگین مداری مؤلفه مداری باد (از اینجا به بعد برای اختصار و وضوح، به میانگین مداری مؤلفه مداری باد، با میانگین مداری باد مداری ارجاع می‌کنیم) بهترین فرایافت اویلری در معرفی چرخه‌های نوسان تاوه قطبی است. برای تحلیل چرخه‌های نوسان تاوه قطبی، فرایافتهای اویلری حاصل از معادله میانگین مداری مؤلفه مداری تکانه (از اینجا به بعد برای اختصار و وضوح، به میانگین مداری مؤلفه مداری تکانه، با میانگین مداری تکانه مداری ارجاع می‌کنیم) از قبیل واگرایی شار تکانه افقی، واداشت کوهساری و گشتاور کوریولیس به کار می‌رond.

در بخش بعدی مدل عددی و فرایافتهای معرفی می‌شوند. بخش سوم به تجزیه و تحلیل نتایج عددی می‌پردازد و نتایج در بخش پایانی مورد بحث قرار می‌گیرد.

رابطه زیر معرفی می‌شود:

$$h_B = \frac{H_B}{H_0} \left(1 - e^{-t/\tau_B} \right) \cos(\lambda) e^{-[(\varphi - \varphi_0)/\Delta\varphi]^2} \quad (4)$$

که در آن H_B دامنه واداشت کوهساری، λ طول جغرافیایی و φ_0 عرض جغرافیایی مرکز واداشت ناشی از کوهساری است. کوهساری در طی یک دوره زمانی ۵ روزه ($\tau_B = 5$) از مقدار صفر در شروع انتگرال گیری عددی به مقدار بیشینه قابل تنظیمی می‌رسد و یک موج راسی ایستور با عدد موج ۱ تولید می‌کند. بدین ترتیب بعد از گذشت پنج روز از اجرای مدل واداشت موجی حالت پایا خواهد داشت. واداشت گرمایی نیز به صورت یک فرایند واهلش گرمایی در معادله پیوستگی جرم وارد می‌شود. در این فرایند عمق شاره به یک توزیع ترازمند که نمایشگر ترازمندی تابشی است، واهلیده می‌شود. توزیع ترازمند عمق شاره تنها تابعی از عرض جغرافیایی و مستقل از زمان درنظر گرفته می‌شود (شکل ۱-ب).



شکل ۱. وردایی (الف) باد مداری، (ب) ضخامت تعادلی (خط نقطه‌چین) برای حالت اولیه بر حسب عرض جغرافیایی.

شتاب، h_B کوهساری، $c = \sqrt{gH_0}$ تندی موج گرانی، g شتاب گرانی، Ω_E سرعت زاویه‌ای کره زمین، $B = c^2 (\tilde{h} + h_B) + \frac{1}{2} |\mathbf{v}|^2$ فشار برنولی، φ عرض جغرافیایی، a شعاع زمین، $Z = f(f + \zeta)$ است. پریشیدگی ضخامت بی‌بعد با رابطه $h = H_0 (1 + \tilde{h})$ برابر مبنای میانگین جهانی ضخامت تعیین می‌شود. در اینجا $\left| \frac{DQ}{Dt} \right|_{AD}$ معرف مشتق تمام توابعی پتانسیلی تحت شرایط اضافی و بدون در نظر گرفتن اثرات دررو است. در الگوریتم‌های مورد استفاده در این مقاله، مراد از اضافی، صرفاً اضافی عددی است.

برای تمام شبیه‌سازی‌ها شرایط اولیه مترادن مداری برای شارش استفاده می‌شود (شکل ۱-الف).

شارش اولیه همان شارش به کار رفته در رونگ و اف (۲۰۰۴) است. در این آزمایش واداشت از سطح زیرین با عامل کوهساری صورت می‌گیرد که نقش آن در واقع شبیه‌سازی واداشت وردسپهری شارش در پوش سپهر به دلیل انتشار قائم امواج راسی است. کوهساری به صورت

مداری است.

جمله‌های اول و دوم سمت چپ معادله (۵) به ترتیب گرایش باد مداری و فرارفت تاوایی مطلق ناشی از شارش نصف‌النهاری میانگین (گشتاور نیروی کوریولیس) را نشان می‌دهند. جمله اول سمت راست معادله (۵) نشانگر واگرایی شار تکانه افقی و معرف برهم کنش موج-شارش میانگین است. جمله دوم سمت راست معادله (۵) نشانگر واداشت ناشی از کوهساری و مولد امواج سیاره‌ای است. جملات سوم و چهارم سمت راست معادله (۵) به ترتیب انتقال پیچکی جرم و انتقال پیچکی چشمۀ جرم در راستای مداری را نشان می‌دهند. آخرین جمله سمت راست معادله (۵) معرف واداشت ناپایستار $(\bar{X}^* = 0)$ ناشی از اتلاف تاوایی پتانسیلی است. این فرایافت‌ها می‌توانند اطلاعات زمینه در این تحقیق را به دست دهند. سهم هریک از این جمله‌ها در چرخه‌های نوسان تاوه قطبی در بخش بعدی مورد بررسی قرار می‌گیرد.

۳ نتایج عددی

نتایج عددی بلندمدت حاصل از محاسبات با دامنه بُعددار واداشت کوهساری (H_B) برابر با ۳۰۰۰ متر، زمان واهلش (τ_B) ۱۰ روز را برای الگوریتم "فرابرد پربنده نیمه‌لاگرانژی" به نام DCASL یا سرnam Diabatic Contour–Advection Semi–Lagrangian فضایی ۲۵۶×۲۵۶ و الگوریتم "نیمه‌لاگرانژی" به نام SL سرnam Semi–Lagrangian با تفکیک‌های فضایی ۲۵۶×۲۵۶، ۲۵۶×۵۱۲، ۵۱۲×۱۰۲۴ و ۱۰۲۴×۵۱۲ بدرسی می‌کنیم. در اینجا، برای مثال، منظور از تفکیک فضایی ۲۵۶×۲۵۶ استفاده از نقطه در راستای مداری و ۲۵۶ نقطه در راستای نصف‌النهاری است که جزئیات بیشتر در این مورد را می‌توان در محب‌الحجه و دریچل (۲۰۰۷) یافت. برخلاف الگوریتم SL، الگوریتم DCASL دارای

از آنجاکه در معادلات آب کم‌عمق بنابر ساختار آن، امکان انتشار قائم امواج راسی وجود ندارد، حضور چرخه‌های نوسان اهمیت خاصی پیدا می‌کند. حل معادلات به کمک الگوریتم‌های متفاوت امکان بررسی و تحلیل استواری چنین چرخه‌های نوسان را فراهم می‌کند. مجموعه داده‌های حاصل از اجرای بلندمدت این مدل برای تعیین سازوکارهای تغییرپذیری درونی پوش‌سپهر مورد بررسی قرار می‌گیرد.

فرایافت‌های اویلری در حکم ابزار مهندی در شناخت تغییرات گذرای شارش‌های جوی مانند چرخه‌های نوسان باد مداری مورد استفاده قرار می‌گیرد (توبین و لگنو، ۱۹۹۹). بنابراین برای بررسی نوسان‌های باد مداری و استواری یا ناستواری آن، مجموعه‌ای از فرایافت‌های اویلری با استفاده از داده‌های بلندمدت مدل آب کم‌عمق محاسبه، رسم و تحلیل می‌شوند. فرایافت‌های اویلری حاصل از محاسبه جملات معادله میانگین مداری تکانه مداری به صورت زیر هستند (رونگ و واف، ۲۰۰۴):

$$\bar{u}_t - \bar{v}^*_a = \frac{1}{(1+\tilde{h})\cos\varphi} \nabla \cdot \mathbf{F} - \frac{c^2 \tilde{h} \bar{h}_{B\lambda}}{a(1+\tilde{h})\cos\varphi} - \frac{1}{(1+\tilde{h})} \overline{(\tilde{h}' u')}_t + \frac{1}{(1+\tilde{h})} \overline{u' S'_h} + \overline{X^*} \quad (5)$$

در این رابطه، پایین‌نویس t معرف مشتق زمانی، ζ_a تاوایی مطلق، $\mathbf{F} = (1/(a \cos\varphi)) (F^{(\phi)} \cos\varphi)$ واداشت موجی معرف برهم کنش موج-شارش میانگین و $F^{(\phi)} = -(1+\tilde{h}) v' \cos\varphi$ شار الیسن-پالم (EP) برای مدل آب کم‌عمق است (رونگ و واف، ۲۰۰۴). نماد بار روی هر کمیت معرف میانگین مداری آن کمیت، ستاره و بار بیانگر میانگین مداری وزن‌دار-جرمی (mass-weighted) و پرایم معرف انحراف از میانگین مداری است. $h_{B\lambda}$ مشتق کوهساری کف در راستای

تعییر کرد. نظم و همدوسی چرخه‌های نوسان میانگین مداری باد مداری همراه با افزایش تفکیک مدل، کاهش معنای این امر آن است که ساختار آماری چرخه‌ها به تفکیک حساس است. بررسی دقیق‌تر شکل ۲ بیانگر آن است که از میان سه تفکیک به کار رفته برای الگوریتم SL، تفکیک فضایی 1024×1024 به طور نسبی همخوانی بهتری با نتایج حاصل از کاربست الگوریتم DCASL با تفکیک 256×256 دارد. این امر با نتایج عرضه شده محب‌الحجه و دریچل (۲۰۰۹) برای یک مسئله مقدار اولیه و نیز تحلیل میدان تاوایی پتانسیلی در حدود ۳۰ روز اول مسئله فعلی (برای اختصار نشان داده نشده) سازگار است. علاوه بر این، نتایج شکل ۱ تایید دیگری بر توانایی الگوریتم DCASL در کاربست آن در تفکیک‌های فضایی (اویلری) پایین‌تری نسبت به روش‌های نقطه-شبکه‌ای مانند SL و بنابراین تسريع در محاسبات است.

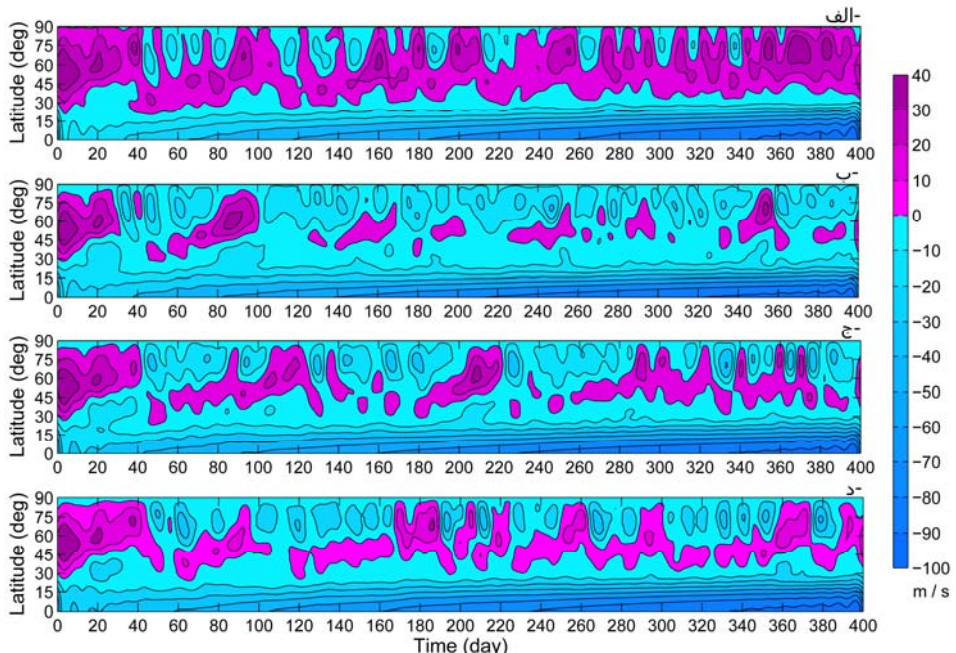
در تحول زمانی گرایش باد مداری (۱)، شتاب‌های مثبت و منفی (چرخه‌های نوسان) مهم‌ترین ویژگی‌اند (شکل ۳). شایان ذکر است، یک اختلاف فاز بین دوره‌های شتاب افزایشی و شدیدترین بادهای غربی که همزمان با بازساخت تاوه قطبی است، وجود دارد. این موضوع بیانگر تفاوت مقیاس زمانی واداشت‌های گرمایی و موجی است. در واقع واداشت گرمایی در مقایسه با واداشت موجی بلندمقیاس‌تر است. بنابراین معمولاً بازساخت تاوه قطبی بسیار کنتر از شکست آن روی می‌دهد. مانند شکل ۲، بارزترین تغییرپذیری برای الگوریتم DCASL اتفاق می‌دهد به علاوه اینکه مدت زمان هر چرخه به مشاهدات واقعی در پوش‌سپهر نزدیک‌تر است.

مقایسه شکل‌های ۲ و ۴ نشانگر هم‌زمانی مقادیر مثبت فرارفت تاوایی مطلق حاصل از

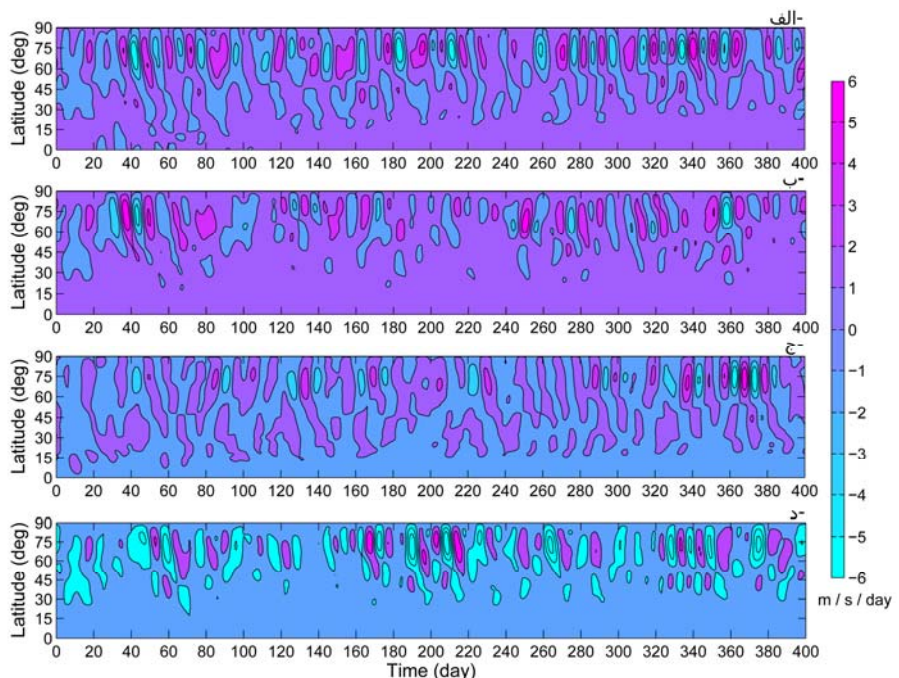
تفکیک لاغرائزی است که بر مبنای تفکیک فضایی اویلری به صورت فوق نمایش‌پذیر نیست. این توانایی تفکیک لاغرائزی DCASL امکان استفاده از آن را در تفکیک فضایی پایین‌تری نسبت به SL می‌دهد. به این دلیل و نیز به دلیل محدودیت حافظه، نتایج DCASL فقط برای تفکیک 256×256 داده می‌شود.

شکل ۲ تحول زمانی میانگین مداری باد مداری (۲) را بر حسب عرض جغرافیایی برای ۴۰۰ روز نشان می‌دهد. حذف آشفتگی‌های کوتاه‌مدت به کمک پالایه لنکروس ۳۱ روزه موجب نمایش بهتر چرخه‌های نوسان باد مداری می‌شود. حالت اولیه برای نیم‌رخ باد در روز شروع اجرای مدل آب کم عمق که نشانگر شرایط زمستان در پوش‌سپهر است شامل یک جریان جتی غربی در عرض‌های بالا و یک جریان جتی شرقی ضعیف‌تر در مناطق حاره‌ای است. چرخه نوسان باد مداری با شتاب منفی و سپس مثبت و تغییر جهت باد مداری از غربی به شرقی و بر عکس در عرض‌های بالا ($60N - 80N$) تعریف می‌شود. تغییر در شارش میانگین از روز دهم آغاز و سپس در عرض‌های بالا حوالی روز چهل و پنجم جهت باد شرقی می‌شود (شکل ۲-الف). برای مثال، با توجه به شکل ۲-الف در عرض‌های بالا از روز اول تا روز چهل و پنجم جهت باد غربی متناظر با رودباد شبانه قطبی است و بعد از آن با کاهش تندی باد از روز چهل و پنجم به بعد جهت باد شرقی می‌شود. سیمای بارز در شکل ۲ برتری الگوریتم DCASL بر الگوریتم SL در شیوه‌سازی چرخه‌های نوسان باد مداری است. بارزترین تغییرپذیری باد مداری در شکل ۲-الف دیده می‌شود که مربوط به کاربرد الگوریتم DCASL در شیوه‌سازی چرخه‌های نوسان تاوه قطبی است. دست‌کم تا آنجا که مدل آب کم عمق را می‌توان به منزله مدلی برای پوش‌سپهر در جو واقعی به کار برد، ظهور چرخه‌های نوسان را نیز می‌توان به معنای وجود تغییرپذیری درونی پوش‌سپهر در جو واقعی

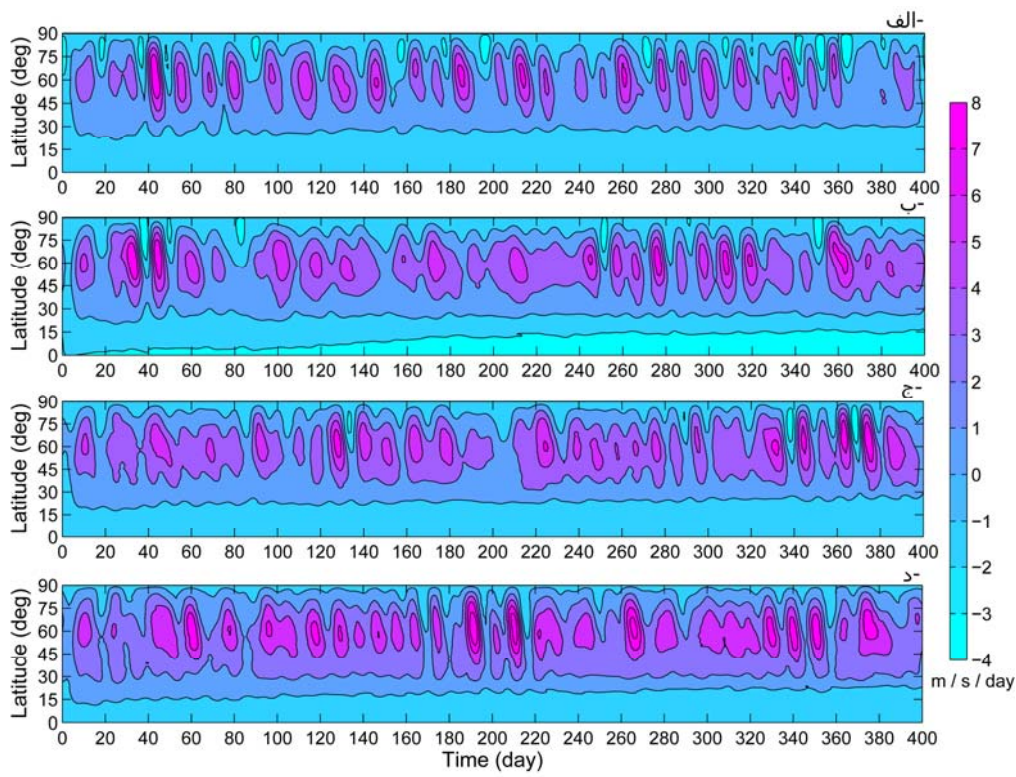
بررسی بزرگی هریک از جمله‌ها در معادله^(۵) بیانگر اهمیت فرارفت تاوایی مطلق در جریان‌های شرقی در عرض‌های بالا است که تعیین تحول زمانی باد مداری است. یکی از عوامل تضعیف تاوه قطبی است.



شکل ۲. تحول زمانی میانگین مداری باد مداری با استفاده از الگوریتم‌های (الف) DCASL با تفکیک فضایی 256×256 و (ب تا د) SL به ترتیب با تفکیک‌های فضایی 256×256 ، 512×512 و 1024×1024 ؛ پریندها میانگین مداری باد مداری با بازه پریندی ۱۰ متر بر ثانیه بر حسب عرض جغرافیایی را نشان می‌دهند. در اینجا از پالایه لنکروس ۳۱ روزه استفاده شده است.



شکل ۳. مانند شکل ۲ ولی برای میانگین مداری گرایش باد مداری با بازه پریندی ۱ متر بر ثانیه بر روز.



شکل ۴. مانند شکل ۲ ولی برای فرارفت تاویی مطلق با شارش نصف‌النهاری میانگین و بازه پریندی ۱ متر بر ثانیه بر روز.

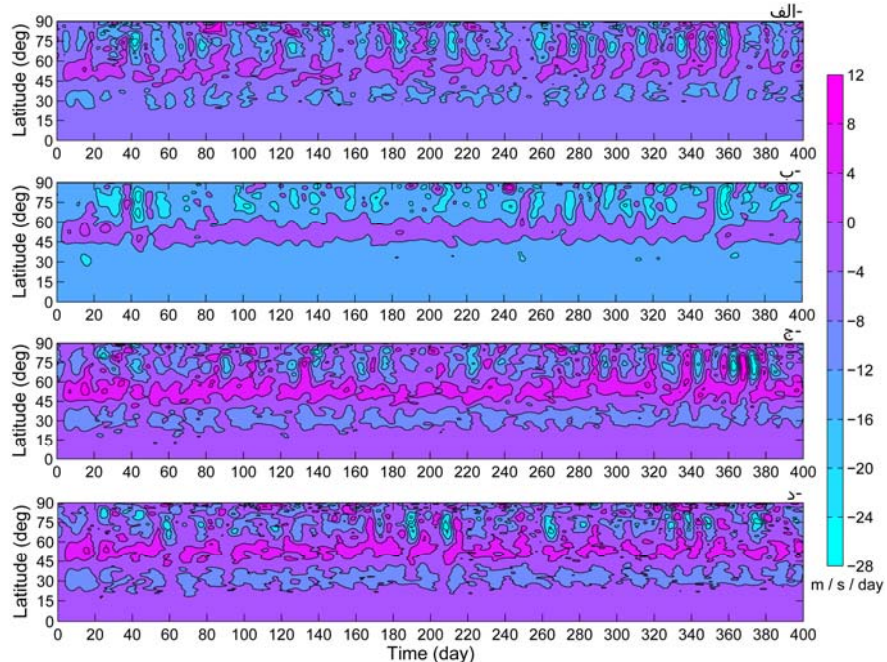
بر حسب عرض جغرافیایی $\left(\left(1 + \bar{h} \right) \cos \varphi \right)^{-1} \nabla \cdot \mathbf{F}$ حاصل از حل معادلات آب کم عمق با الگوریتم‌های SL و DCASL برای ۴۰۰ روز را نشان می‌دهد. بررسی شکل ۵ نشان می‌دهد که انتقال جنوب‌سوی تکانه موجب کاهش باد مداری می‌شود. تضعیف تاوه قطبی بعد از همگرایی شار EP و تقویت آن بعد از واگرایی شار EP صورت می‌گیرد. همگرایی (واگرایی) شار EP موجب مثبت (منفی) شدن جمله واگرایی شار تکانه افقی می‌شود و نشانگر تعدیل شارش میانگین بر اثر فعالیت موجی است. این جمله در توازن بین جملات معادله (۵) نقش اساسی دارد.

و داشت کوهساری $\left(c^2 \bar{h} h_{\text{ب}} \left(a(1 + \bar{h}) \cos \varphi \right)^{-1} \right)$ هم مانند بقیه جملات معادله (۵) شامل دوره‌های افزایشی و کاهشی است ولی همواره مقدار آن منفی است

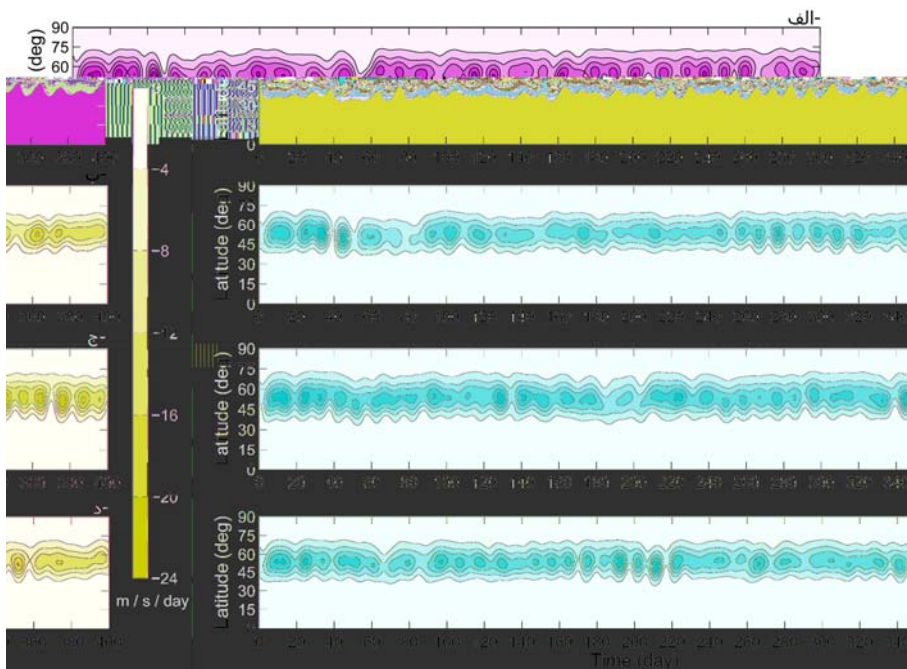
برای امواج کوچک‌دامنه شار EP و واگرایی آن در قالب یک فرایافت فشرده، بیانگر فعالیت موجی است. انتشار موج به کمک شار EP و برهم‌کنش موج–شارش میانگین به کمک واگرایی آن مورد بررسی قرار می‌گیرد (اندروز و همکاران، ۱۹۸۷؛ جیمز، ۱۹۹۵). مؤلفه موج بزرگ‌مقیاس، با اعدد موج مداری ۱ و ۲، عامل اصلی در برهم‌کنش موج–شارش میانگین در حین چرخه‌های شکست–بهبودی (breaking-recovery) تاوه قطبی است. علی‌رغم اینکه در این رخداد حرکت‌های مقیاس کوچک‌تر، ویژگی‌های غیرخطی دارند، رفتار این مؤلفه تقریباً خطی است. در مدل آب کم عمق تکلایه‌ای مورد استفاده، شار EP فقط یک مؤلفه افقی دارد که معرف شار افقی $\left(-((1 + \bar{h}) v)' u' \cos \varphi \right)$ تکانه است. شکل ۵ تحول زمانی واگرایی شار تکانه افقی

کاهش باد مداری و تضعیف تاوه قطبی می‌شود. همراه با کاهش واداشت کوهساری، واداشت گرمایی موج بازساخت تاوه قطبی می‌شود. افزایش تندي و تغییر جهت باد مداری از شرقی به غربی حاکی از بازساخت تاوه قطبی است.

(شکل ۶). بررسی بزرگی این جمله نشانگر اهمیت آن در تحول زمانی میانگین مداری باد مداری است. منفی ترین مقادیر واداشت کوهساری قبل از وقوع جریان‌های شرقی، نشانگر بیشترین اثر امواج سیاره‌ای است. در واقع رشد فعالیت موجی همراه با افزایش مقدار این جمله موجب



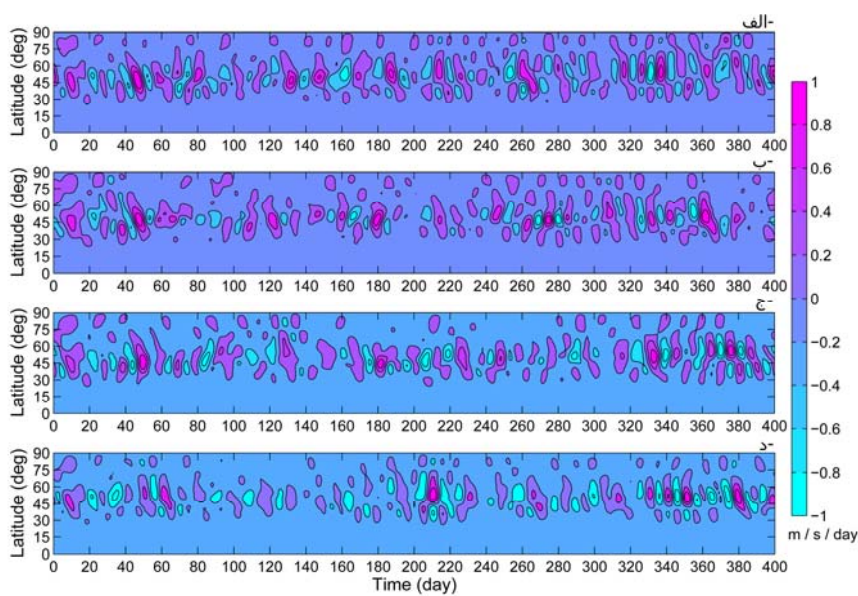
شکل ۵. مانند شکل ۲ ولی برای واگرایی شار تکانه افقی با بازه پرینتی ۴ متر بر ثانیه بر روز.



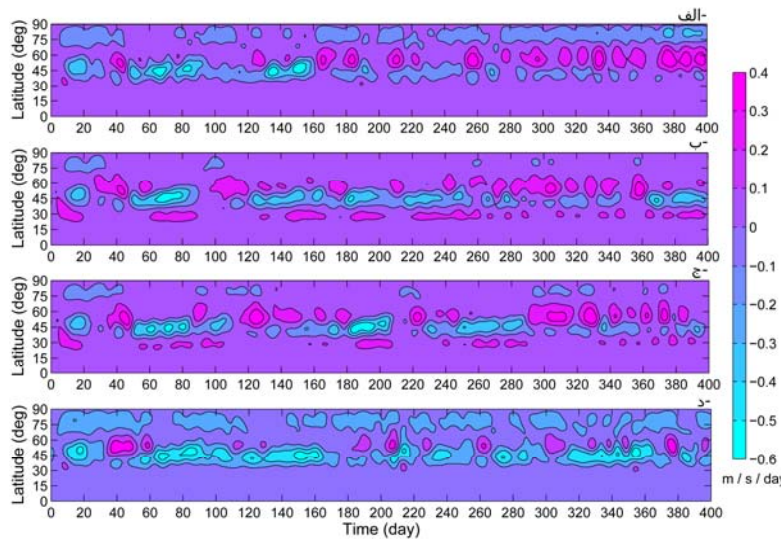
شکل ۶. مانند شکل ۲ ولی برای واداشت کوهساری با بازه پرینتی ۴ متر بر ثانیه بر روز.

مداری، و اداشت کوهساری، واگرایی شار تکانه افقی و گشتاور کوریولیس، در تعیین تحول زمانی میانگین مداری باد مداری سهم مهمی دارند (جدول ۱). در عرض‌های میانه، مجموع جملات گشتاور کوریولیس و و اداشت کوهساری با علامت‌های مخالف، تقریباً برابر شار پیچکی تاوهای پتانسیلی است که موجب تضعیف تاوه قطبی می‌شود. چرخه‌های نوسان باد مداری با تغییر ناهم‌فاز این جملات تعیین می‌شوند.

بررسی اندازه دو جمله آخر در معادله (۵) که به ترتیب انتقال نصف‌النهاری جرم $\left(1 + \bar{h}^{-1}(\tilde{h}'u')_t\right)$ و چشمۀ جرم $\left(u'S_{\bar{h}}'(\bar{h}^{-1})\right)$ را نشان می‌دهند (شکل‌های ۷ و ۸) حاکی از اهمیت نداشتن این دو جمله در تعیین تحول زمانی میانگین مداری باد مداری است. مقایسه مقادیر هریک از جملات معادله میانگین مداری تکانه مداری حاکی از این است که جملات گرایش باد



شکل ۷. مانند شکل ۲ ولی برای انتقال نصف‌النهاری جرم با بازه پریندی $2/0$ ، متر بر ثانیه بر روز.



شکل ۸. مانند شکل ۲ ولی برای انتقال نصف‌النهاری چشمۀ جرم با بازه پریندی $1/0$ ، متر بر ثانیه بر روز.

جدول ۱. مقادیر هریک از جملات معادله میانگین مداری تکانه مداری بر حسب متر بر ثانیه بر روز.

گرایش باد مداری	فرارفت تاوایی مطلق	واگرایی شار تکانه افقی	واداشت کوهساری	انتقال پیچکی جرم	انتقال پیچکی چشم جرم
-۶ تا -۶	-۸ تا -۴	-۱۲ تا -۲۸	-۰ تا -۲۴	-۱ تا -۱	-۰/۶ تا -۰/۴

مورد اثرات فشارورده ناشی از ساختار افقی بر عامل اصلی تغییرپذیری درونی پوشسپهر در جو واقعی، یعنی تاوه قطبی، دارد. با توجه به امکان اثر هرگونه تغییرپذیری درونی پوشسپهر بر وردسپهر (بالدوین و دانکرتون، ۲۰۰۱)، نتایج پژوهش به طور بالقوه دارای قابلیت کاربرست به تعیین تغییرپذیری وردسپهر و نیز رفع عدم قطعیت‌های مربوط به برهم‌کنش وردسپهر و پوشسپهر در سامانه اقلیم (گزارش IPCC، ۲۰۰۱) است.

استفاده از الگوریتم‌ها و تفکیک‌های فضایی گوناگون برای حل معادلات آب کم‌عمق به منظور بررسی استواری چرخه‌های باد مداری صورت گرفته است. نامنظمی DCASL چرخه‌های نوسان در همه نتایج آورده شده برای SL و که از مظاهر مهم آن گذارهای ناگهانی میان شارش‌های غرب‌سو و شرق‌سو است، تفاوت آشکاری را با چرخه‌های منظم در شکل ۴-الف رونگ و اف (۲۰۰۴) با تفکیک فضایی کم T۴۲ بر مبنای الگوریتم تبدیل طیفی در نمایش (تاوایی، واگرایی، ضخامت) و استفاده از فرایخش، نشان می‌دهد.

با توجه به نامنظمی چرخه‌ها و نیز تفاوت ساختار آماری آنها بین DCASL و SL از یک سو و بین تفکیک‌های گوناگون SL از سوی دیگر، لازم است که فرایافت‌های اویلری مورد استفاده در این مقاله را با فرایافت‌های قوی‌تری تکمیل کنیم. فرایافت‌های تکمیلی به ویژه باید به تعیین هندسه تاوه قطبی و تحول زمانی کمک کنند. برای این منظور فرایافت‌های اویلری تغییرشکل یافته (شبه‌لاگرانژی) مانند عرض جغرافیایی هم‌ارز و جرم محصور در پریند تاوایی پتانسیلی مطرح شده‌اند که

۴ بحث و نتیجه‌گیری

در این تحلیل که با استفاده از مدل آب کم‌عمق تکلایه روی کره برای پوشسپهر صورت گرفته است، اثر ترکیبی واداشت‌های گرمایی و موجی موجب نوسان تاوه قطبی می‌شود. چون مقیاس زمانی واداشت گرمایی طولانی‌تر از واداشت موجی است در غالب موارد شکست تاوه قطبی سریع‌تر از بازساخت آن روی می‌دهد. ظهور چرخه‌های نوسان تاوه قطبی در مدل عددی تکلایه‌ای (فقط شامل پوشسپهر) با اعمال واداشت موجی مستقل از زمان بیانگر تاثیر دینامیک پوشسپهر در ایجاد تغییرپذیری درونی آن است. هدف از استفاده از مدل آب کم‌عمق به منزله ساده‌ترین مدل ممکن که معرف میانگین قائم پوشسپهر برای جو واقعی سه‌بعدی است، بررسی اثر ساختار افقی در ایجاد و نگهداری چرخه‌های نوسان است. در جو واقعی، چرخه‌های نوسان تاوه قطبی به کمک میدان تاوایی پتانسیلی ارتل روی سطوح همدما پتانسیلی تحلیل و بررسی می‌شوند. بنابر این با تعمیم مدل تکلایه‌ای به یک مدل چندلایه‌ای می‌توان اثر ساختار قائم و درنتیجه انتشار قائم را وارد کرد و بدین ترتیب به شبیه‌سازی کامل‌تری از چرخه‌های نوسان تاوه قطبی دست یافت.

زمان واهلش گرمایی در پوشسپهر تابع ارتفاع است و به طور معمول با افزایش ارتفاع کاهش می‌یابد. در مدل آب کم‌عمق به کاررفته برای پوشسپهر زمان واهلش گرمایی ۱۰ روز انتخاب شده که برابر میانگین زمان واهلش گرمایی برای پوشسپهر در جو واقعی است. به علاوه، چون واداشت کوهساری مستقل از زمان در نظر گرفته شده، بنابراین نتایج این پژوهش امکان کاربرد در

- McIntyre, M. E. and Palmer, T. N., 1984, The "surf-zone" in the stratosphere, *J. Atmos. Terr. Phys.*, **46**, 825–849.
- Mohebalhojeh, A. R. and Dritschel, D. G., 2009, The diabatic contour-advection semi-Lagrangian algorithms for the spherical shallow water equations, *Mon. Wea. Rev.*, **137**, 2979–2994.
- Mohebalhojeh, A. R. and Dritschel, D. G., 2007, Assessing the Numerical Accuracy of Complex Spherical Shallow-Water Flows, *Mon. Wea. Rev.*, **135**, 3876–3894.
- Polvani, L. M. and Saravanan, R., 2000, The three-dimensional structure of breaking Rossby waves in the polar wintertime stratosphere, *J. Atmos. Sci.*, **57**, 3663–3685.
- Rong, P. P. and Waugh, D. W., 2004, Vacillations in a shallow water model of the stratosphere, *J. Atmos. Sci.*, **61**, 1174–1185.
- Salby, M. and Callaghan, P., 2004, Evidence of the Solar Cycle in the General Circulation of the Stratosphere, *J. Climate*, **17**, 34–46.
- Scott, R. K. and Polvani, L. M., 2006, Internal variability of the stratospheric polar vortex. Part I: Time-independent forcing, *J. Atmos. Sci.*, **63**, 2758–2776.
- Scott, R. K. and Polvani, L. M., 2008, Internal variability of the stratospheric polar vortex. Part II: Time-dependent forcing, *J. Atmos. Sci.*, **65**, 2375–2388.
- Thuburn, J. and Lagneau, V., 1999, Eulerian mean, contour integral, and finite-amplitude wave activity diagnostics applied to a single-layer model of the winter stratosphere, *J. Atmos. Sci.*, **56**, 689–710.
- Waugh, D. W., 1993, Subtropical stratospheric mixing linked to disturbances in the polar vortices, *Nature*, **365**, 535–537.

محاسبه و تحلیل آنها در مقاله دیگری عرضه خواهد شد. امید است که درنهایت بتوان از مجموعه این فرایافتهای عدم قطعیت موجود نسبت به استواری چرخه‌های نوسان در مدل آب کم عمق برای پوشش‌پردازی را بهطور کامل برطرف کرد.

منابع

- Andrews, D. G., Holton, J. R. and Leovy, C. B., 1987, *Middle Atmosphere Dynamics*, Academic Press, 489 pp.
- Angell, J. K., 1997, Stratospheric warming due to Agung, El Chichon, and Pinatubo taking into account the quasi-biennial oscillation, *J. Geophys. Res.*, **102**, 9479–9485.
- Baldwin, M. P. and Dunkerton, T. J., 1988, Climatology of the stratospheric Polar Vortex and planetary wave breaking, *J. Atmos. Sci.*, **45**, 1123–1142.
- Baldwin, M. P. and Dunkerton, T. J., 1989, The stratospheric major warming of early December 1987, *J. Atmos. Sci.*, **46**, 2863–2884.
- Baldwin, M. P. and Dunkerton, T. J., 2001, Stratospheric harbingers of anomalous weather regimes, *Science*, **244**, 581–584.
- Christiansen, B., 1999, Stratospheric vacillations in a General Circulation Model, *J. Atmos. Sci.*, **56**, 1858–1872.
- Holton, J. R. and Mass, C., 1976, Stratospheric vacillation cycles, *J. Atmos. Sci.*, **33**, 2218–2225.
- IPCC, 2001, *Climate Change 2001*, Cambridge University Press, 94pp.
- James I. N., 1995, *Introduction to Circulating Atmospheres*, Cambridge University Press, 422pp.
- Jukes, M., 1989, A shallow water model of the winter stratosphere, *J. Atmos. Sci.*, **46**, 2934–2955.
- Matsuno, T., 1970, Vertical propagation of stationary planetary waves in winter northern hemisphere, *J. Atmos. Sci.*, **27**, 871–883.
- Matsuno, T., 1971, A dynamical model of stratospheric warmings, *J. Atmos. Sci.*, **28**, 1479–1494.
- McIntyre, M. E., 1982, How well do we understand the dynamics of stratospheric warmings? *J. Meteor. Soc. Japan.*, **60**, 37–65.
- McIntyre, M. E. and T. N. Palmer, 1983, Breaking planetary waves in the stratosphere, *Nature*, **305**, 593–600.